

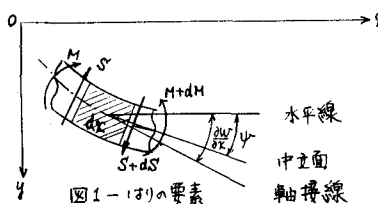
信州大学

正会員 谷本 角太助

福山コンサルタント 正会員 ○丸山 泉

1. まえがき　自由振動解析により、固有振動数、振動モードなどの振動特性をより高次まで、かつより正確に求めようとする場合、Bernoulli-Euler理論に基づく振動（ここでは略してBernoulli-Euler振動という）では、精度の点で不十分であると言われる。そこで、変形については、曲げ変形の他にせん断変形も考え、荷重に作用する慣性抵抗としては、たわみによらずのみの他にたわみ角による回転慣性も考慮した、Timoshenkoばかり理論に基づく振動（ここでは略してTimoshenko振動という）を用いて解析する必要がある。この報告では、数値実験例として単径間ばかり、および複数の連続ばかりについて両理論による振動特性の差異について考察する。

2. 基礎方程式　Bernoulli-Euler振動の基礎微分方程式は(1)で示され、Timoshenko振動についての図より、(2)(3)式へ連立で与えられる。



(2),(3)式は最終的には w , ψ に関して次のような形の式になる。

$$\left[\frac{\partial^4}{\partial x^4} - \frac{EI^2}{g} \left(\frac{1}{E} + \frac{1}{kG} \right) \frac{\partial^4}{\partial x^2 \partial t^2} + \frac{rL^2}{g} \frac{A l^2}{EI} \frac{\partial^2}{\partial x^2} + \left(\frac{rL^2}{g} \right)^2 \frac{1}{E} \frac{1}{kG} \frac{\partial^4}{\partial x^4} \right] [w] = 0. \quad (4)$$

3. 連続条件および境界条件　両理論の出発方程式はそれぞれ(1), (4)の一般解であり、未定係数は連続条件と両端の境界条件から決定する。出発方程式を変形量と力量に分けることによって言える。

$$\begin{bmatrix} \nabla^{(1)} \\ \nabla^{(4)} \end{bmatrix} = \begin{bmatrix} \alpha & \beta \\ \alpha' & \beta' \end{bmatrix} \begin{bmatrix} \nabla^{(1)} \\ \nabla^{(4)} \end{bmatrix}. \quad \text{但し } \nabla = \begin{bmatrix} w \\ \theta \end{bmatrix}, \nabla = \begin{bmatrix} S \\ M \end{bmatrix}. \quad (5)$$

連続条件、境界条件をすべて取り入れると、三軸マトリックスとなる

$$\begin{bmatrix} B_1 C_1 \\ A_2 B_2 C_2 \\ \vdots \\ A_n B_n C_n \\ A_{n+1} B_{n+1} \end{bmatrix} \begin{bmatrix} \nabla_1 \\ \nabla_2 \\ \vdots \\ \nabla_n \\ \nabla_{n+1} \end{bmatrix} = 0. \quad (6)$$

となる。固有振動数は(6)式の係数行列の行列式がゼロとなる時の値によって表わされるが、これは三軸の掃き出しの手法で最後の1つの小行列に基づきられ

$$\det [B_{n+1}] = 0. \quad (7)$$

より求める。Bernoulli-Euler振動、Timoshenko振動とも(7)式を解くことに帰着する。

4. あとがき　数値実験によると、高次モードまで考慮しても振動特性に、両理論の差異はかられなかった。この原因としては、Timoshenko振動の連続条件の中で、たわみ角として曲げモーメントのみによる力を用い、せん断力の影響まで考慮した θ を用いたことによると思われる。Franklin Y. Chengなどは力を用いて、高次においては差異があるとしているが、よりの滑らかな連続性からみて0でとるのが妥当と思う。数値結果は当日発表の予定。

5. 参考文献　Franklin Y. Cheng, "Timoshenko Beam and Frame Work" ASCE 1972